



UNIVERSIDAD DE SONORA

FACULTADA INTERDICIPLINARIA
CIENCIAS EXACTAS Y
NATURALES
DEPARTAMENTO DE GEOLOGIA

MATERIA

HIDROLOGIA II

"ACUÍFERO COSTERO EL SAHUARAL CARACTERIZACIÓN PIEZOMETRICA Y HIDROGEOQUIMICA, SONORA, MÉXICO."

PRESENTA: M.C. J. ALFREDO OCHOA G.

Geología

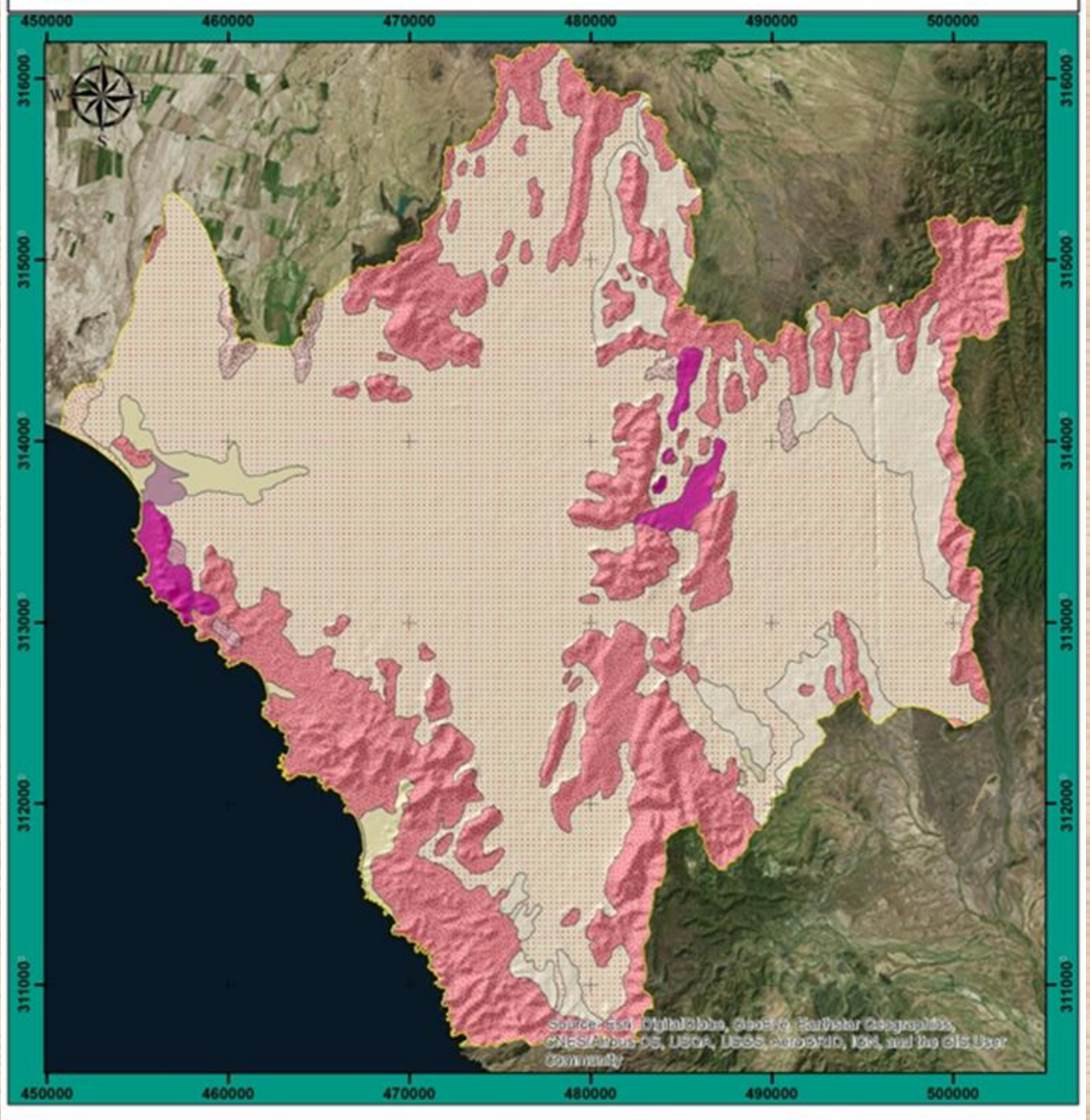
Como se observa en la Figura, la subcuenca El Sahuaral presenta diferentes litologías en una pequeña área, donde se encuentran predominantemente unidades sedimentarias pertenecientes a un relleno sedimentario, mientras existen afloramientos de rocas volcánicas alrededor de toda la subcuenca y pequeños cuerpos intrusivos aflorando en superficie.

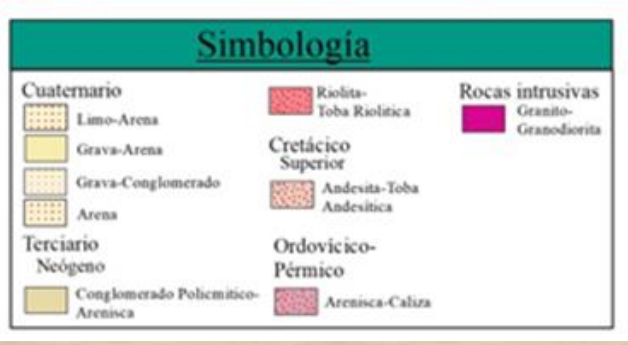
En mayor proporción se tienen Arenas-Limos del Cuaternario correspondiendo a toda la parte central de la subcuenca, rodeado de rocas predominantemente Riolita-Toba riolítica del Mesozoico.



Mapa Geológico de la subcuenca El Sahuaral









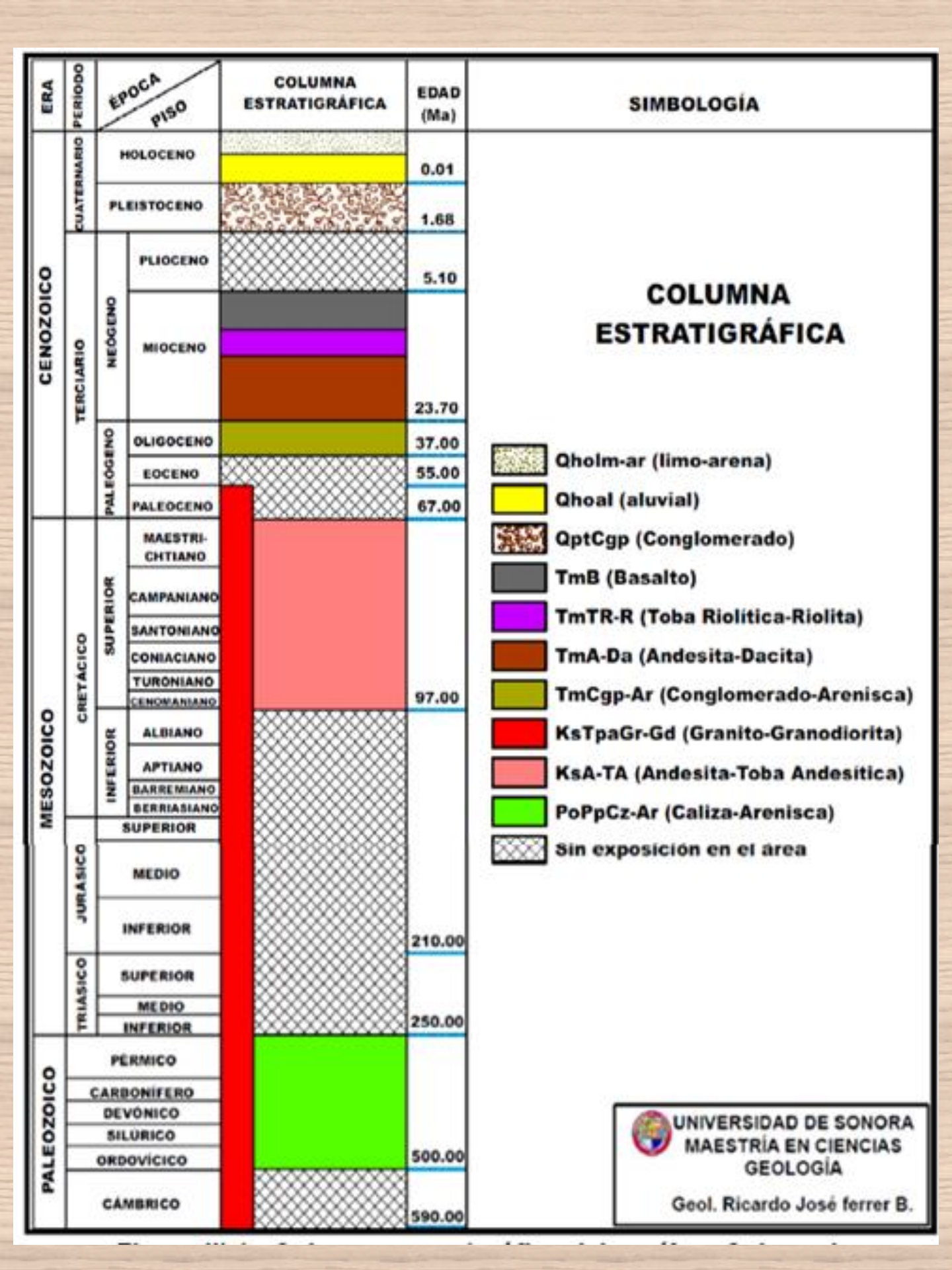
Datos Generales Autores: Cabrera Y., Nuñez D., Gareliz C. Elaboracion a partir de: carta geológica 1:250000 SGM Proyección: Universal Transversal Mercator Cuadrícula: UTM DATUM: WGS84 Escala

Estratigrafía y Litología

La columna estratigráfica y litología de la subcuenca El Sahuaral, comprende rocas de material aluvial en el cuaternario, asi como conglomerados.

En el Terciario, la litología predominante es Andesita-Dacita, de composición volcánica. En el Mesozoico, se tienes rocas de composición principalmente volcánica e intrusión de rocas graníticas. Mientras que en el paleozoico se tienen rocas sedimentarias como calizas y areniscas.

En la siguiente figura, tomada de la tesis de Ricardo Ferrer, se muestra la columna estratigráfica que muestra la sucesión de litologías a través del tiempo.



Geología Estructural

En la subcuenca El Sahuaral, existieron diferentes eventos geológicos-estructurales que han ocurrido a través del tiempo, estos eventos se ven reflejado en la zona de estudio, además de presentar evidencias notorias de orientaciones en los afloramientos, separados por planicies aluviales y eólicas.

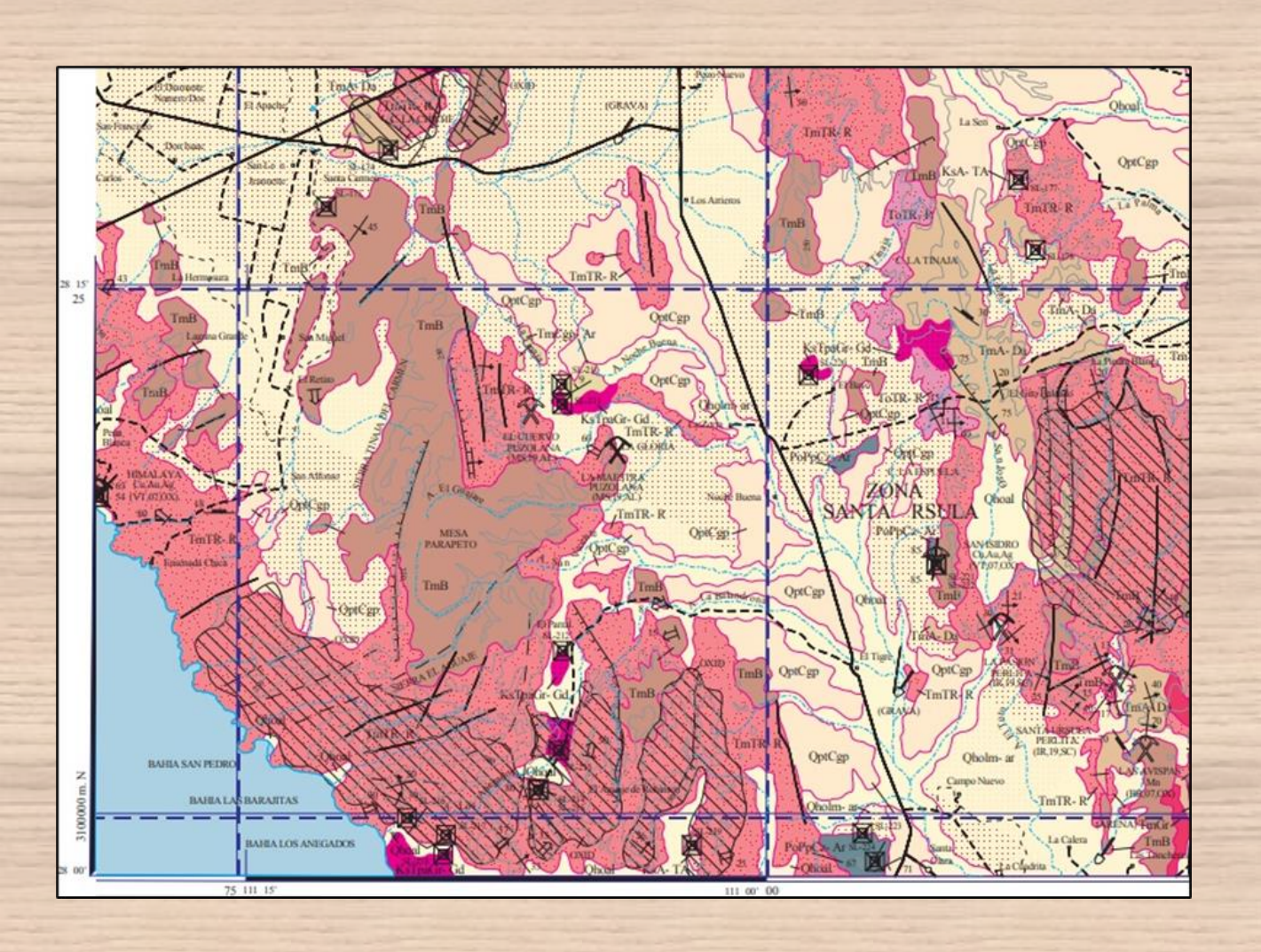
Esta distribución está controlada por estructuras con una misma distribución general NNW-SSE con buzamientos al NE y al SW que en algunas ocasiones muestran lineamientos secundarios representantes de grandes fallas y fracturas orientadas NNE-SSW.

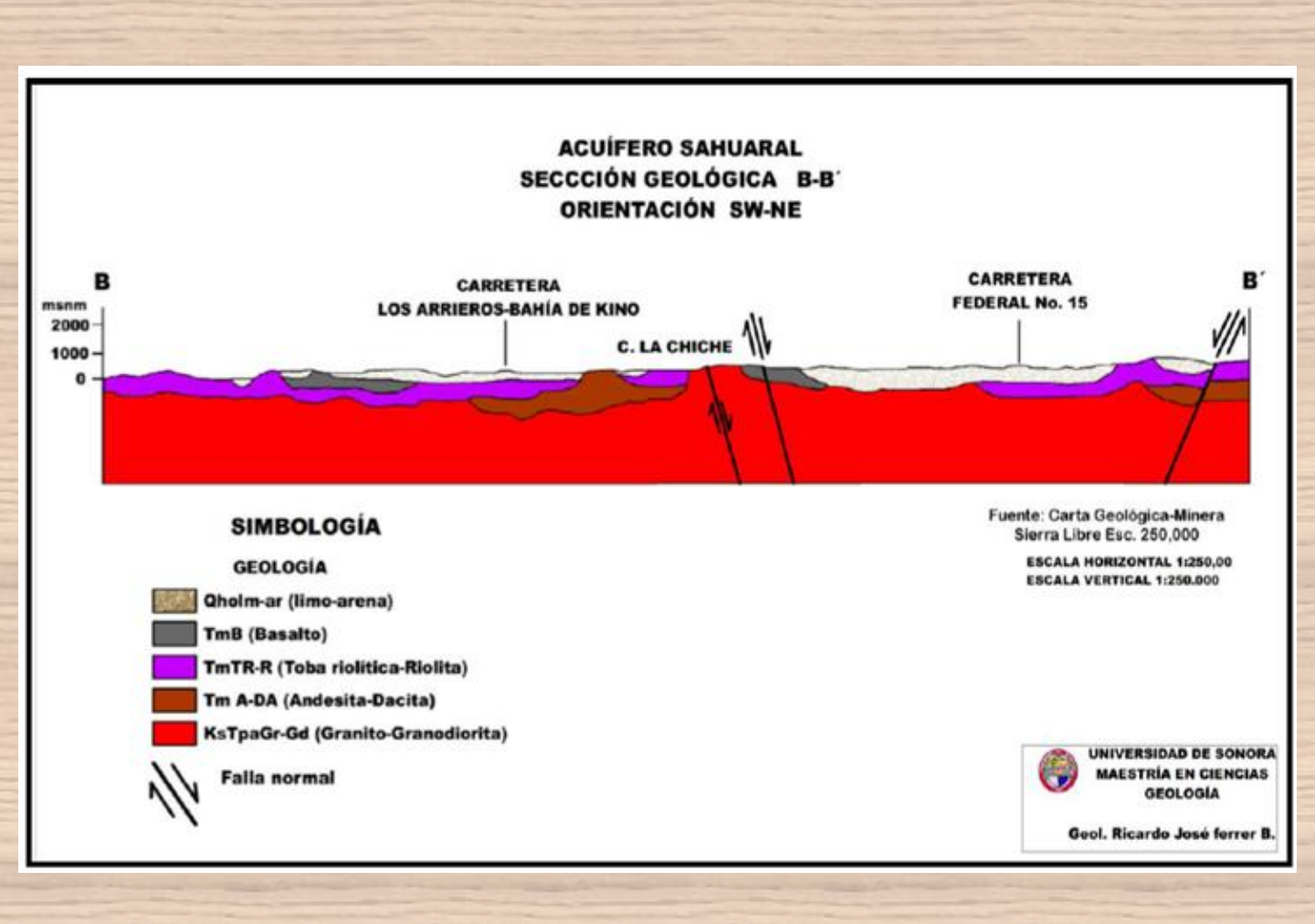
Esto es, por que las sierras están delimitadas por estructuras limítrofes que le otorgan su orientación general, lo que ayuda a concebir la presencia de altos y bajos estructurales (Horst y Graben).

La situación estructural en el área que abarca la zona hidrogeológica, se tienen estructuras con una orientación N-S y buzamiento al W, evidencia de la zona influencia estructural de la Provincia Extensional del Golfo, (Ferrer, 2016).

La presencia de rocas volcánicas nos dice una corteza fuertemente tectonizada, considerando que para el ascenso de estos líquidos es necesario un medio propicio y con presencia de estructuras (fallas) profundas.

Incluso es claramente observable que algunas unidades volcánicas, el cual tienen un modo de emplazamiento controlado por estructuras. Estas relaciones cortantes mediante estructuras limítrofes primarias pueden ser observadas en la distribución de los intrusivos de composición granítica-granodioritica del Cretácico Superior-Paleógeno, ya que se muestran seccionados bajo las mismas condicionantes que las cuencas sedimentarias y volcanosedimentarias.





Geología del Subsuelo

Para el área de El Sahuaral, en el desarrollo del siguiente apartado, se utilizó información recabada estudios anteriores de pozos con sus respectivos cortes hidroestratigráficos y estudios geofísicos realizados en el área de estudio.

Los aprovechamientos básicamente se localizan en los depósitos cuaternarios que se encuentran en la parte superior de la sección geológica.

Las profundidades de los pozos se distribuyen: alrededor del 70% tienen una profundidad menor a los 200 m, entre un 26% y 27% la profundidad esta entre 200 a 300 m, y el resto varía dentro de los 300 m.

Hay que hacer mención que algunos de los pozos presentan descripciones pobres, lo que dificulta diferenciar diferentes facies sedimentarias que pudiesen pertenecer a diferentes ambientes de depósitos, (Ferrer, 2016).

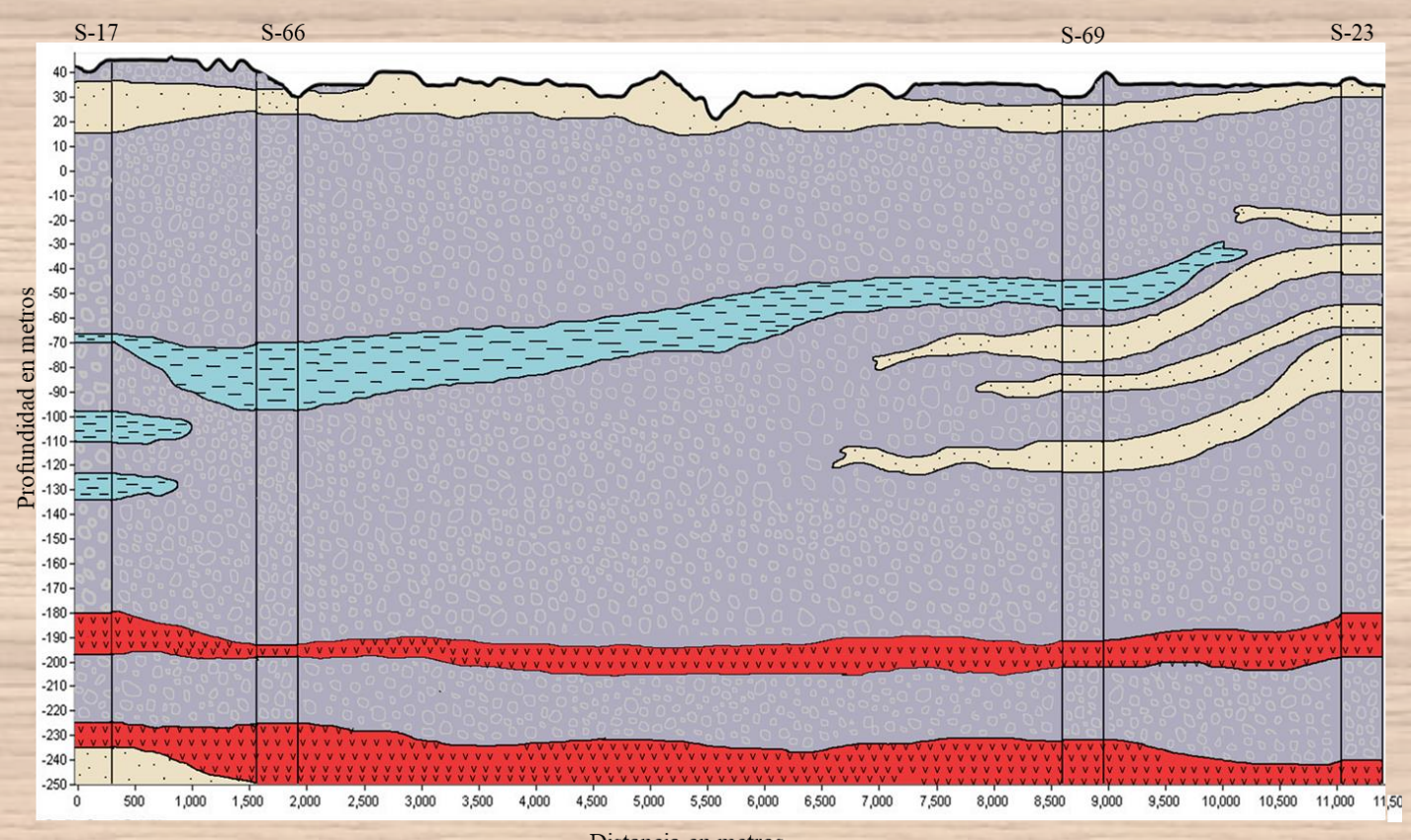
| | S-17 | | | S-66 | | | S-23 | | 1 |
|----------|---|---------------------|----------|-----------------|------------------|----------|-----------------|---------------------|---|
| Prof.(m) | Litología | Tipo de material | Prof.(m) | Litología | Tipo de material | Prof.(m) | Litología | Tipo de material | i |
| 0-2 | Gravilla con arena media-fina | I | 0-3 | Suelo | I | 0-3 | Caliche arenoso | | i |
| 2-14 | Arena cuarzosa media-fina | III | 3-9 | Arena y caliche | I | 3-10 | Boleo | | |
| 14-34 | Grava muy poco fina | I | 9-12 | Grava | Ī | 10-18 | Boleo-Grava | | i |
| 34-46 | Gravas en arena media-gruesa | Ш | 12-21 | Canto rodado | I | 18-21 | Conglomerado | | |
| 46-58 | Gravas de rocas volcánicas | I | 21-48 | Boleo | I | 21-27 | Boleo-Arena | | |
| 58-68 | Gravas en arena media | I | 48-51 | Canto rodado | I | 27-30 | Conglomerado | | |
| 68-70 | Arcilla y escasa grava | 1 | 51-70 | Boleo | I | 30-42 | Boleo-Arena | | |
| 70-86 | Gravilla con arena gruesa | I | 70-79 | Canto rodado | I | 42-54 | Conglomerado | | |
| 86-90 | Gravilla con arena media | I | 79-97 | Boleo | I | 54-64 | Bolero-Arena | | |
| 90-98 | Grava fina con arena y arcilla | Ш | 97-134 | Boleo y arcilla | I | 64-67 | Conglomerado | | |
| 98-110 | Arcilla con escasas gravas | I | | | | 67-82 | Grava-arena | | |
| 110-124 | Gravas y gravillas | Ш | | | | 82-94 | Boleo-Arena | | |
| 124-136 | Arcilla con escasas gravas | I | | | | 94-109 | Grava-Arena | | |
| 136-146 | Gravilla con arena fina | I | | | | 109-115 | Grava gruesa | | |
| 146-170 | Gravilla con arena fina | I | | | | 115-121 | Conglomerado | | |
| 170-180 | Gravilla con arena fina | I | | | | | | | |
| 180-198 | Roca volcánica de composición acida | | | | | | | | |
| 198-204 | Gravilla con arena fina | I | | | | | | | |
| 204-226 | Gravilla con arena fina | I | | | | | | | |
| 226-236 | Roca volcánica de composición intermedia | | | | | | | | |
| 236-240 | Arena gruesa y arcilla café | I | | | | | | | |

Secciones Geohidrológicas

Las secciones geohidrológicas ilustran la conformación de los mantos acuíferos, así como el tipo de este, espesor, sucesión de formas subyacentes y por lo tanto las profundidades y espesores de estas capas (Ferre,2016).

Se realizó una sección geohidrológica, con los cortes geológicos de los pozos presentados en la Figura 27, la máxima profundidad es de 250 m en el pozo S-17 y siendo el de menor profundidad S-66.

Para poder complementar la falta de información de en la parte intermedia entre los pozos S-66 y S-23, se tomó en cuenta el pozo S-69, valiéndose de la información piezométrica así como geoquímica, para inferir la litología que concordara con la sección geohidrológica, como se muestra en la Figura 27.



Distancia en metros



Gravas y Gravillas : Arenas



Rocas Volcánicas

HIDROGEOLOGÍA

A continuación, se presentan la piezometría tomada de varios estudios hidrológicos, el cual marca la evolución que ha tenido el acuífero El Sahuaral en el tiempo y por consecuencia el agua subterránea; para ello se ha utilizado el trazo de líneas equipotenciales, además de la generación de secciones geohidrológicas para determinar la dirección del flujo subterráneo en estos acuíferos y subcuencas.

se trabajaron con los datos marcados en la Tabla 6, los cuales los que están marcados representan los datos tomados en los que se apoyaron para la sección geohidrológica.

| | | Propietario | x | Y | | Prof. NE | 014 ENE | Prof. NE | ENE | Prof. NE | ENE | Evolución |
|---|------|-----------------|--------|---------|-------|----------|------------|----------|--------|----------|--------|-----------|
| | 5-1 | El Pedernal 1 | 461665 | 3142810 | 7.00 | 13.49 | -6.49 | 12.68 | -5.68 | 12.78 | -5.78 | -0.71 |
| | S-2 | El Pedernal 2 | 464470 | 3142989 | 6.22 | 11.39 | -5.17 | 11.58 | -5.36 | 11.78 | -5.56 | 0.39 |
| | S-3 | | 462170 | 3141923 | 10.00 | 38.49 | -28.49 | 30.12 | -20.12 | 21.75 | -11.75 | -16.74 |
| | S-S | El Pedernal S | 461097 | 3143927 | 10.47 | 15.64 | -5.17 | 18.77 | -8.30 | 14.92 | -4.45 | -0.72 |
| | S-11 | Las Conchas | 468089 | 3133875 | 11.59 | 69.20 | -57.61 | 68.20 | ·56.61 | 68.92 | -57.33 | +0.28 |
| | 5-12 | | 469371 | 3133293 | 15.00 | 50.00 | -35.00 | 50.37 | -35.37 | 48.69 | -33.69 | -1.31 |
| | S-13 | San Carlos | 469463 | 3131145 | 19.13 | 56.31 | -37.18 | 56.45 | -37.32 | 54.63 | -35.50 | -1.68 |
| | S-14 | San Isaac | 470889 | 3131708 | 19.62 | | | | | | | |
| | 5-17 | | 479221 | 3140658 | 45.00 | 61.90 | -42.28 | 60.87 | -41.25 | 58.61 | -38.99 | -3.29 |
| | S-18 | Sta. Bernardina | 471890 | 3129342 | 20.51 | 70.10 | -25.10 | 70.22 | -25.22 | 70.34 | -25.34 | 0.24 |
| | S-20 | Agua Dulce | 475683 | 3131418 | 34.04 | 62.69 | -42.18 | 61.86 | -41.35 | 60.04 | -39.53 | +2.65 |
| | 5-21 | Santa Leticia | 472592 | 3126663 | 26.65 | 75.99 | -41.95 | 76.50 | -42.46 | 73.84 | -39.80 | -2.15 |
| | S-23 | | 476313 | 3129673 | 38.00 | 71.72 | -45.07 | 71.73 | -45.08 | 69.21 | -42.56 | -2.51 |
| | | María Dolores | 477216 | 3128695 | 36.25 | 79.50 | -41.50 | 79.63 | -41.63 | 78.12 | -40.12 | 1.38 |
| | S-27 | | | | | 84.66 | -48.41 | 82.25 | -46.00 | 79.84 | -43.59 | -4.82 |
| | S-29 | San Pedro | 476885 | 3127723 | 32.72 | 83.56 | -50.84 | 82.03 | -49.31 | 79.12 | -46.40 | -4.44 |
| | 5-31 | La Hermosura | 475449 | 3125000 | 33.45 | 77.59 | -44.14 | 78.18 | -44.73 | 77.76 | -44.31 | 0.17 |
| | 5.32 | El Refugio | 477166 | 3126721 | 31.36 | 79.40 | -48.04 | 79.27 | -47.91 | 76.41 | -45.05 | -2.99 |
| | S-35 | Alcalá | 477011 | 3122356 | 70.88 | 83.40 | -12.52 | 83.59 | -12.71 | 84.71 | -13.83 | 1.31 |
| | S-38 | La Lagunita | 476202 | 3120101 | 48.97 | 91.48 | -42.51 | 91.38 | -42.41 | 91.64 | -42.67 | 0.16 |
| | S-39 | El Retiro | 476977 | 3120239 | 52.59 | 93.78 | -41.19 | 93.87 | -41.28 | 92.53 | -39.94 | -1.25 |
| | 5-40 | | 461361 | 3149417 | 17.00 | 31.75 | -14.75 | 31.45 | -14.45 | 32.10 | -15.10 | 0.35 |
| | 5-41 | | 462826 | 3150619 | 21.00 | 36.00 | -15.00 | 35.52 | -14.52 | 34.96 | -13.96 | -1.04 |
| | 5-42 | | 462343 | 3147651 | 14.00 | 28.28 | -14.28 | 29.31 | -15.31 | 26.41 | -12.41 | -1.87 |
| ı | 5.44 | | 462311 | 3146659 | 12.00 | 23.22 | -11.22 | 24.62 | -12.62 | 24.21 | -12.21 | 0.99 |
| | S-46 | San Juanico | 470457 | 3141178 | 9.94 | 35.04 | -25.10 | 36.02 | -26.08 | 39.70 | -29.76 | 4.66 |
| | S-47 | Xochiti | 471170 | 3135867 | 18.11 | | | | | | | |
| | 5-48 | | 478012 | 3139375 | 34.00 | 34.32 | -16.21 | 33.55 | -15.44 | 32.73 | -14.62 | -1.59 |
| | S-49 | | 470546 | 3137622 | 14.00 | 59.76 | -25.76 | 61.32 | -27.32 | 60.17 | -26.17 | 0.41 |
| | S-50 | San Alfredo | 468744 | 3134735 | 12.28 | 45.02 | -31.02 | 45.34 | -31.34 | 44.98 | -30.98 | -0.04 |
| | S-54 | El Pierso | 473653 | 3138420 | 20.36 | 45.56 | -33.28 | 43.55 | -31.27 | 42.03 | -29.75 | +3.53 |
| | S-55 | Las Virgenes 5 | 471173 | 3134825 | 22.48 | 46.54 | -26.18 | 47.65 | -27.29 | 48.75 | -28.39 | 2.21 |
| | S-57 | El Tetablate | 471140 | 3134667 | 19.11 | 45.90 | -23.42 | 53.71 | -31.23 | 58.40 | -35.92 | 12.50 |
| | S-58 | El Tetablate | 471140 | 3137582 | 21.25 | 52.15 | -33.04 | 52.26 | -33.15 | 52.69 | -33.58 | 0.54 |
| | | | | | | 53.45 | -32.20 | 54.60 | -33.35 | 54.42 | -33.17 | 0.97 |
| | S-S9 | Las Virgenes 4 | 472572 | 3133663 | 23.86 | 52.00 | -28.14 | 54.64 | -30.78 | 53.91 | -30.05 | 1.91 |
| | S-61 | El Mechudo | 475500 | 3135237 | 23.48 | 67.39 | -43.91 | 61.49 | -38.01 | 62.21 | -38.73 | -5.18 |
| | 5-64 | Barcelonet | 475633 | 3135088 | 30.18 | 46.19 | -16.01 | 62.20 | -32.02 | 63.21 | -33.03 | 17.02 |
| | S-65 | Bacerac | 477736 | 3138222 | 34.31 | 65.20 | -30.89 | 60.47 | -26.16 | 58.80 | -24.49 | -6.40 |
| | S-66 | | 478673 | 3138906 | 40.00 | 70.20 | -30.20 | 65.62 | -25.62 | 65.92 | -25.92 | -4.28 |
| | S-69 | El Huarache | 476913 | 3132292 | 37.12 | 79.55 | -42.44 | 81.64 | -44.53 | 82.30 | -45.19 | 2.75 |
| | 5.70 | La Humareda | 475807 | 3126871 | 29.65 | 75.77 | -46.12 | 75.60 | -45.95 | 74.78 | -45.13 | -0.99 |
| | S-72 | El Apache | 477846 | 3132273 | 39.16 | 87.47 | -48.31 | 90.20 | -51.04 | 90.63 | -51.47 | 3.16 |
| | S-73 | San Isidro | 476778 | 3121546 | 70.70 | 87.83 | -17.13 | 87.50 | -16.80 | 86.10 | -15.40 | -1.73 |
| | | | | | | | | | | | | |

Profundidad al Nivel Estático

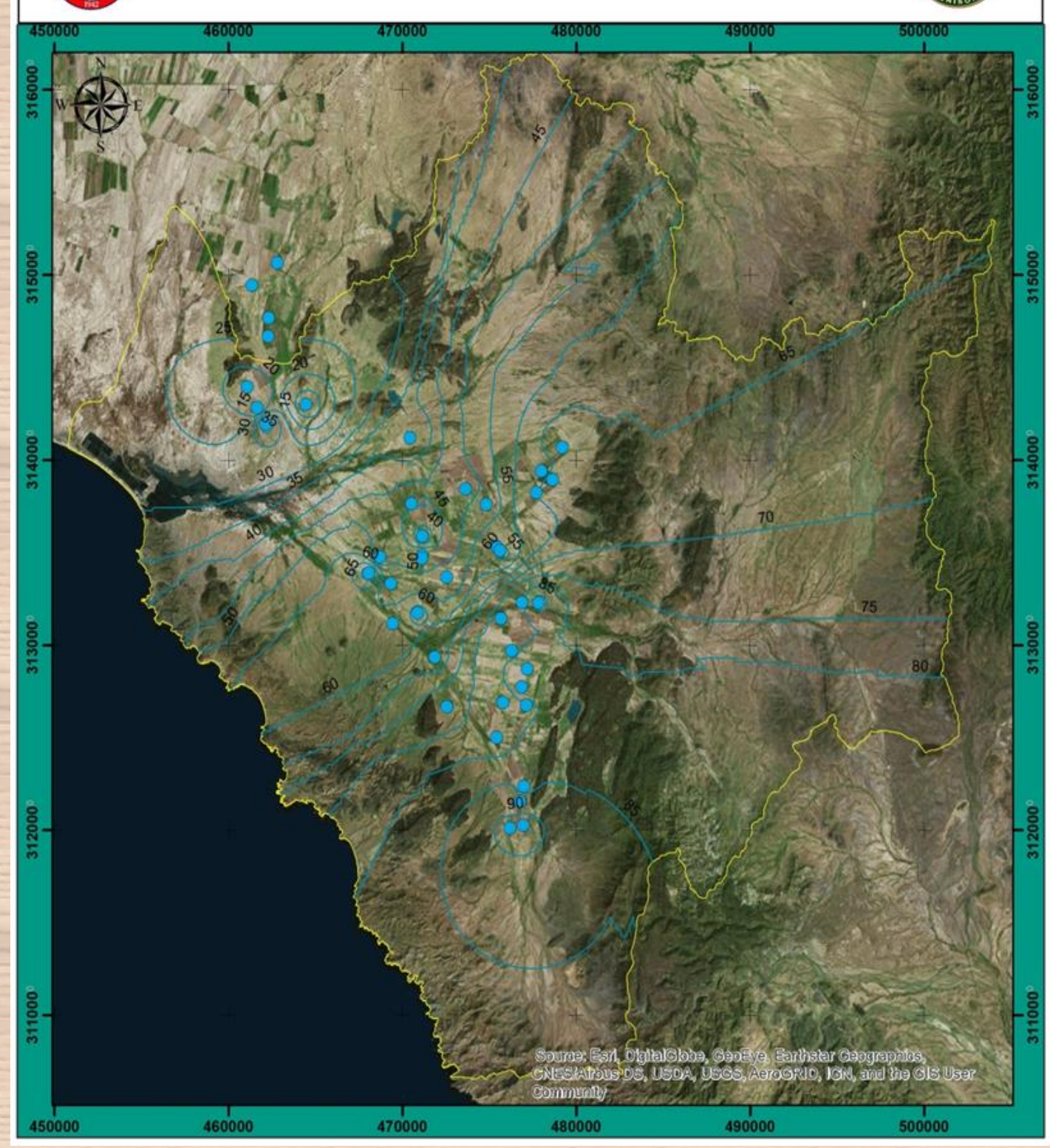
Para el acuífero El Sahuaral se realizaron las configuraciones de la profundidad del nivel estático con los datos establecidos en la Tabla _, se basó en la digitalización del mapa de profundidad al nivel estático de la red piezométrica de CONAGUA.

En la Figura_, se muestra la configuración de la profundidad del nivel estático para el año 2014, en donde podemos observar claramente que las profundidades aumentan, en la parte noroeste se encuentra entre los 15 y 30 m, los cuales van incrementando hacia la parte central de la subcuenca entre los valores 40-60 m y finalmente termina en la parte sur con 80-90 m en profundidades del nivel estático.



Profundidad del nivel estático 2014, El Sahuaral

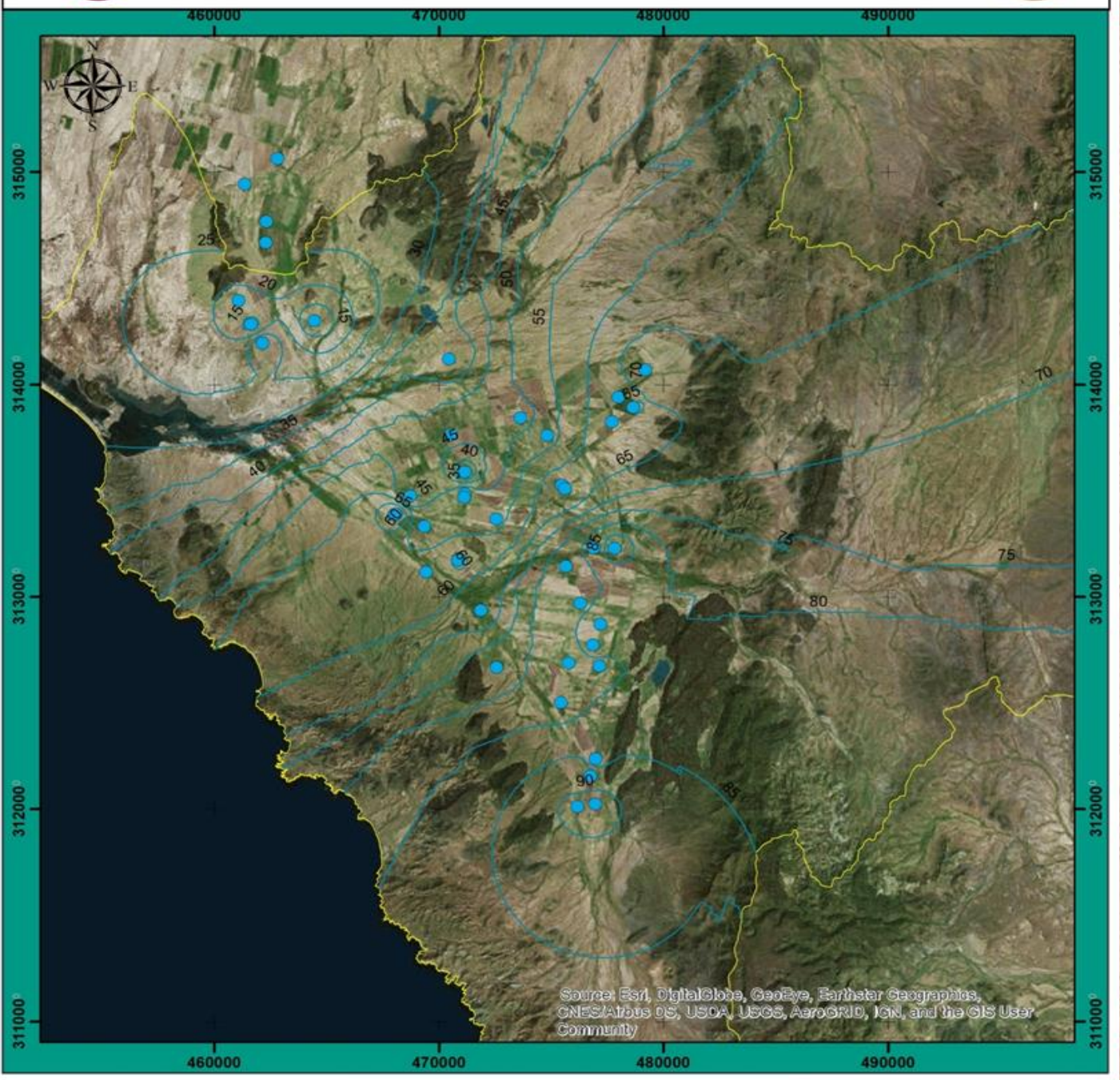






Profundidad del nivel estático 2015, El Sahuaral





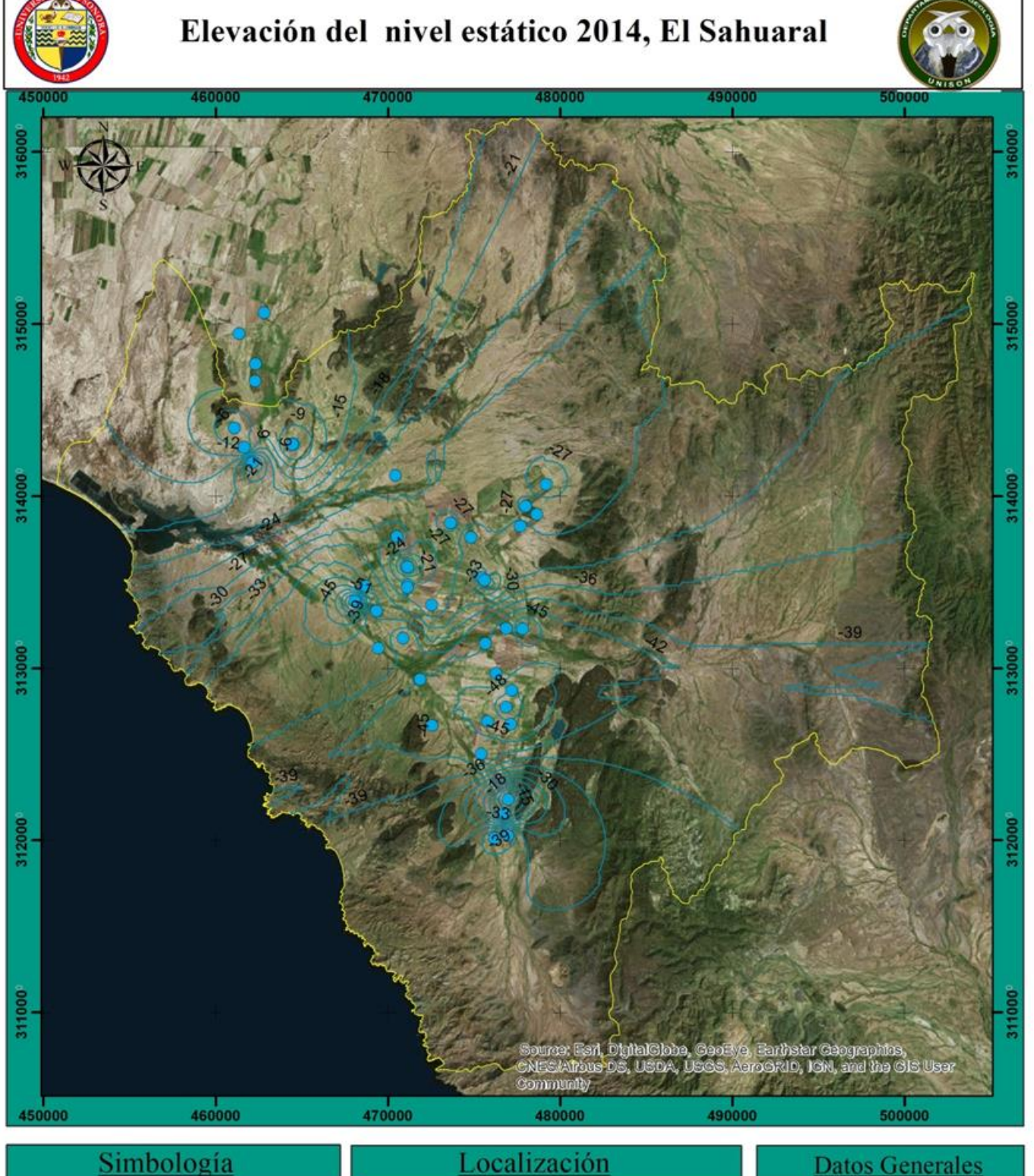
Pozos Piezometría Profundidad del Nivel Estático Área de subcuenca

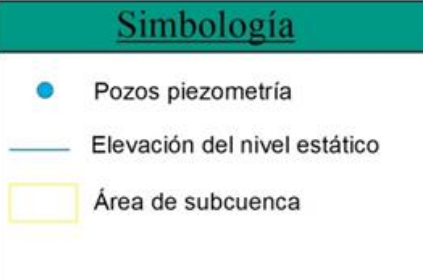


Datos Generales

Autores: Cabrera Y., Nuñez D., Gareliz C. Elaboración a partir de: información de INEGI Proyección:Univesal Transversal Mercator Cuadrícula: UTM DATUM: WGS84









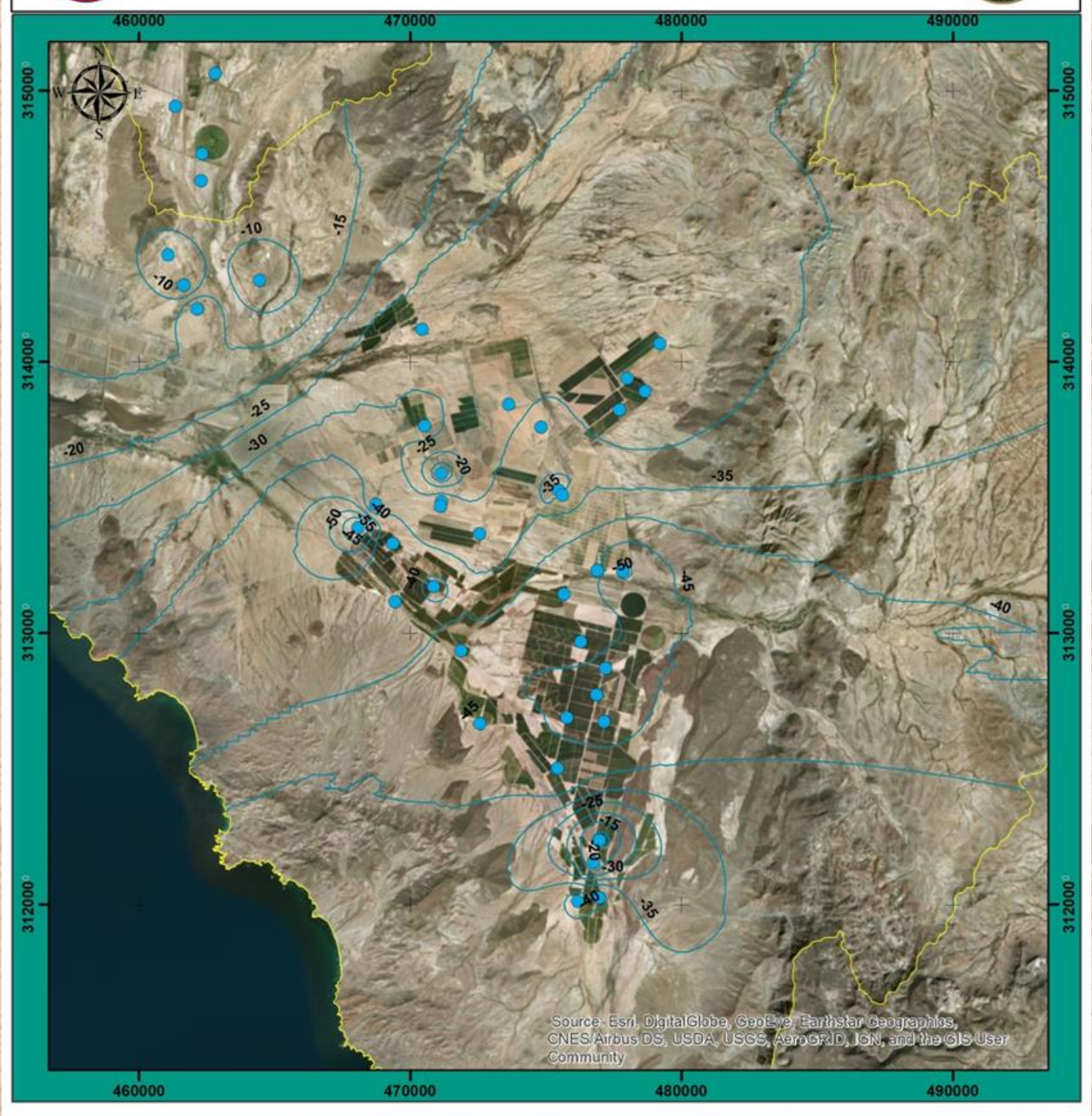
Autores: Cabrera Y., Nuñez D., Gareliz C. Elaboración a partir de: información de INEGI Proyección: Universal Transversal Mercator Cuadrícula: UTM DATUM: WGS84 Escala

0 1.5 3



Elevación del nivel estático 2015, El Sahuaral





Simbología Pozos Piezometría Elevación del nivel estático Área de subcuenca



Datos Generales

Autores: Cabrera Y., Nuñez D., Gareliz C. Elaboración a partir de: información de INEGI Proyección:Univesal Transversal Mercator Cuadrícula: UTM DATUM: WGS84

Escala

0 0.751.5 3 4.5 6



Evolución del nivel estático 2014-2016





Simbología Pozos Piezometría

Profundidad del Nivel Estático

Área de subcuenca

Localización



Datos Generales

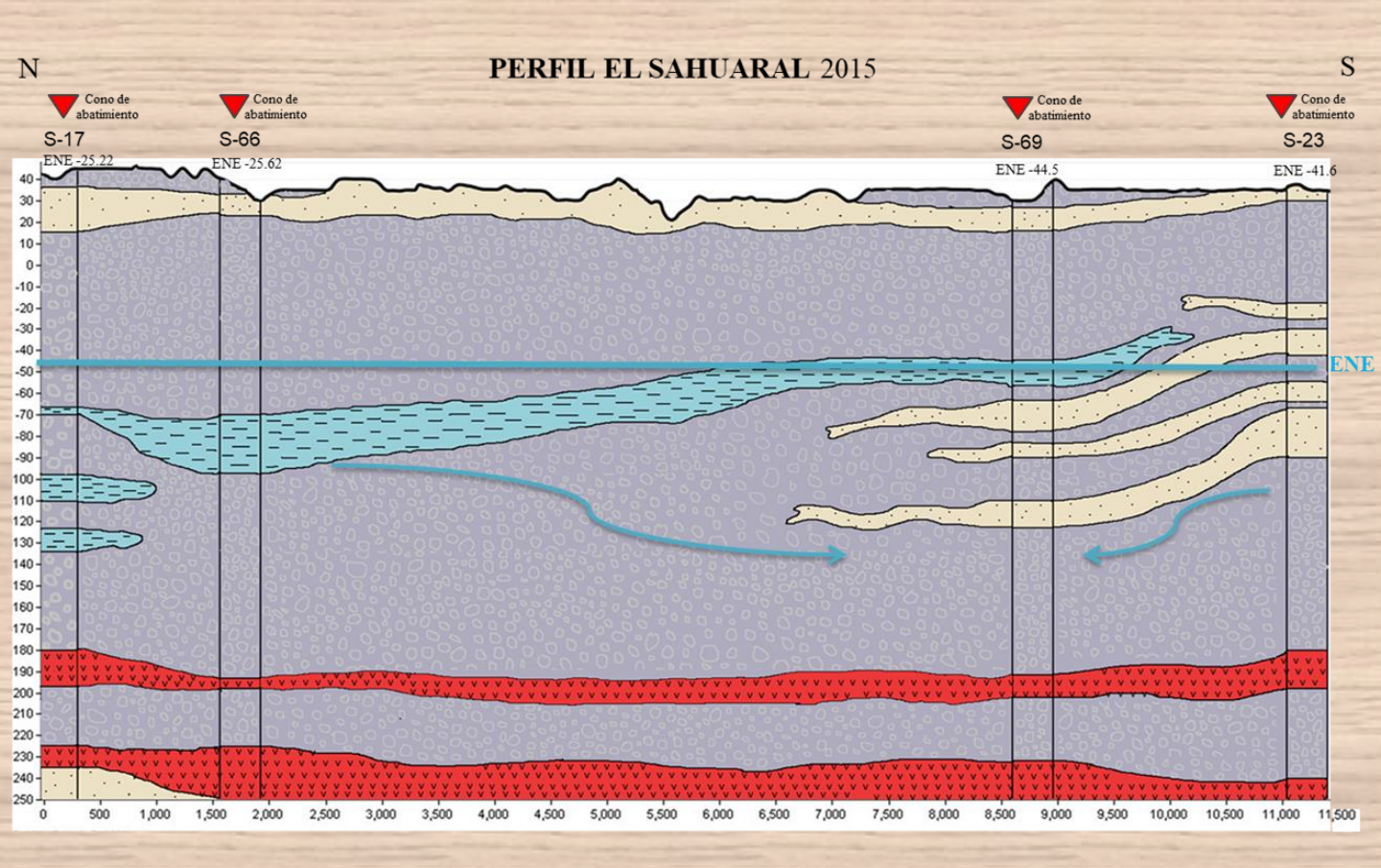
Autores: Cabrera Y., Nuñez D., Gareliz C. Elaboración a partir de: información de INEGI Proyección:Univesal Transversal Mercator Cuadrícula: UTM

Escala

DATUM: WGS84

0 0.751.5 3 4.5 6 Kilómetros

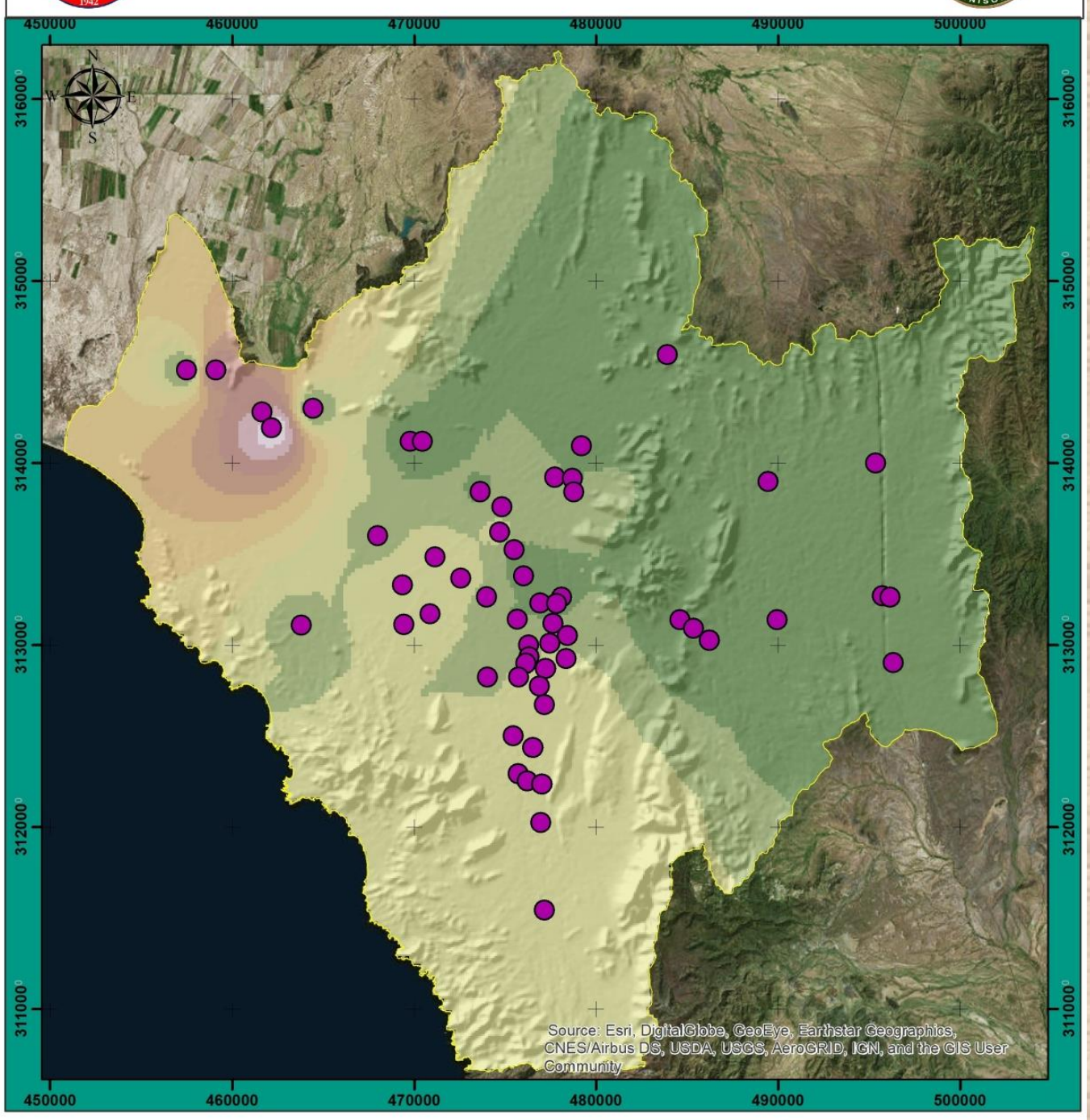
Dirección del Flujo Subterráneo

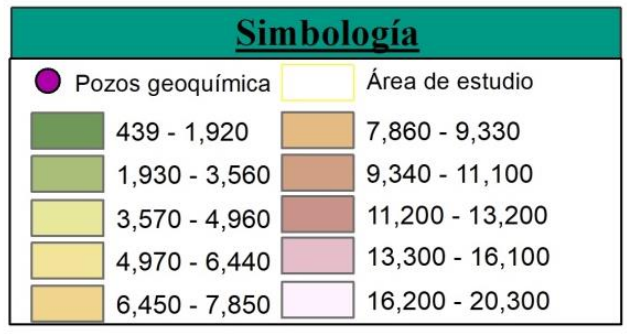




Conductivad Eléctrica, El Sahuaral









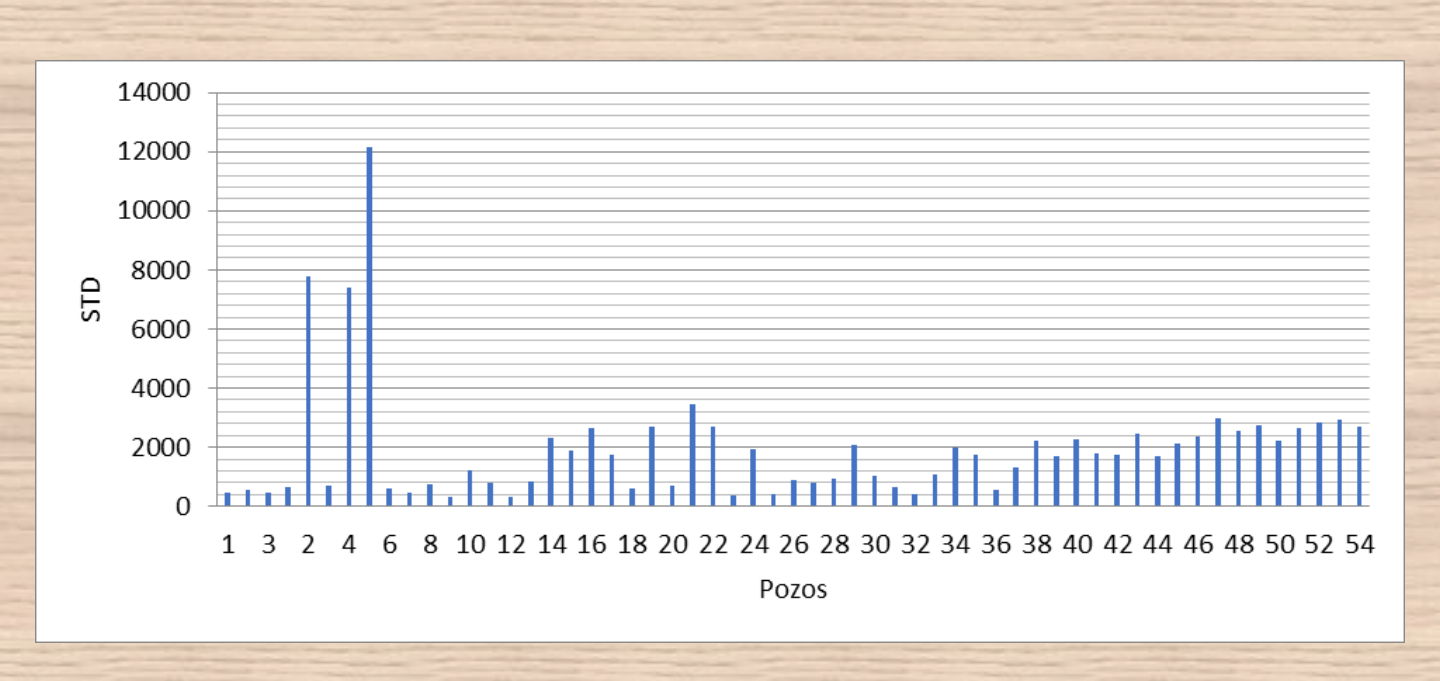
Datos Generales

Autores: Cabrera Y., Nuñez D., Gareliz C. Elaboración a partir de: información de INEGI Proyección:Univesal Transversal Mercator Cuadrícula: UTM

DATUM: WGS84

| | | | Kilómetros |
|-----------|---|-----|------------|
| 0 1 252 5 | 5 | 7.5 | 10 |

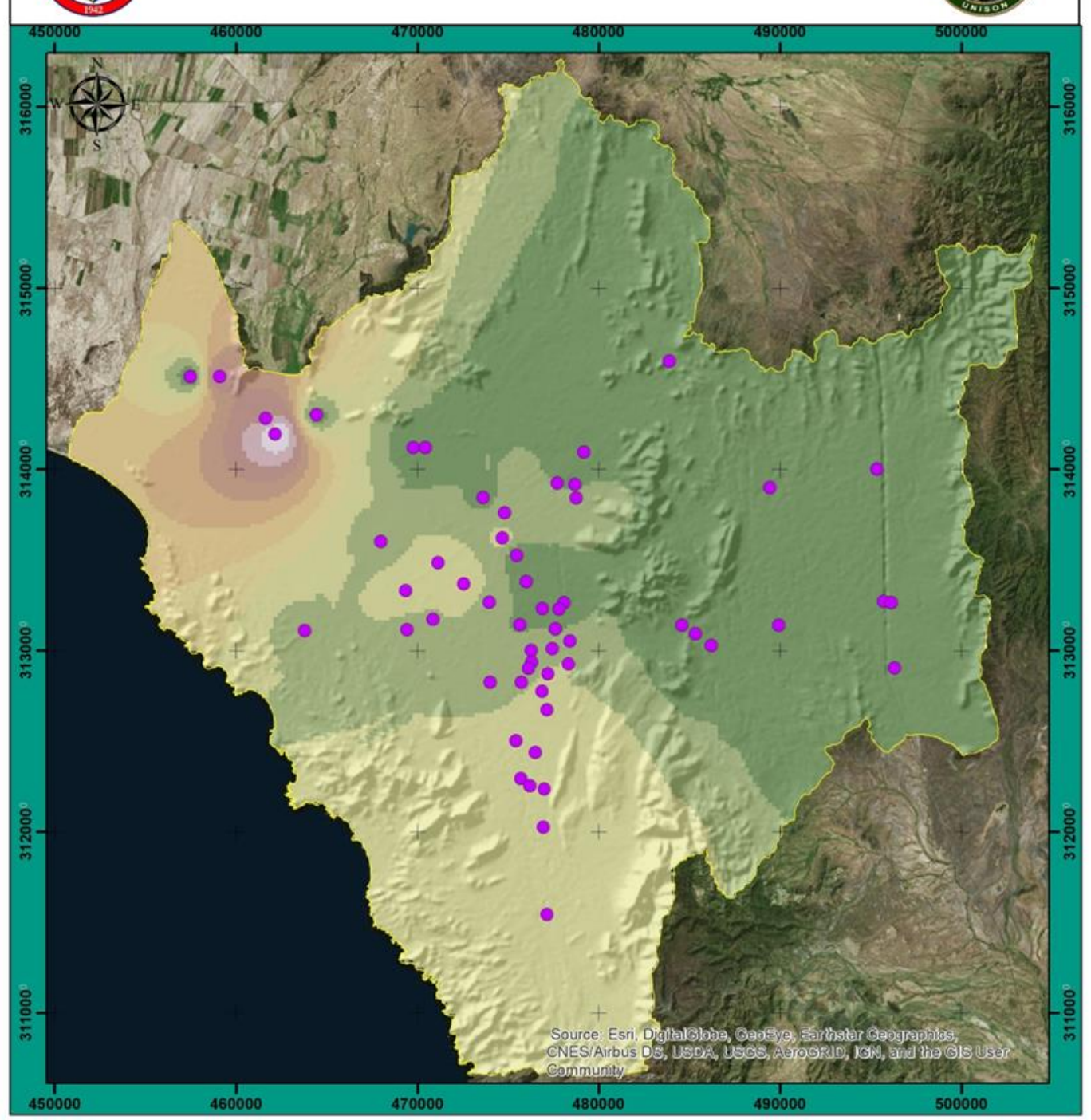
A través del tiempo los sólidos totales disueltos nos representan la calidad del agua subterránea. El grafico _, nos indica las concentraciones de STD en la subcuenca El Sahuaral, siendo el pozo 5 con mayores concentraciones.





Sólidos Totales Disueltos, El Sahuaral









Datos Generales

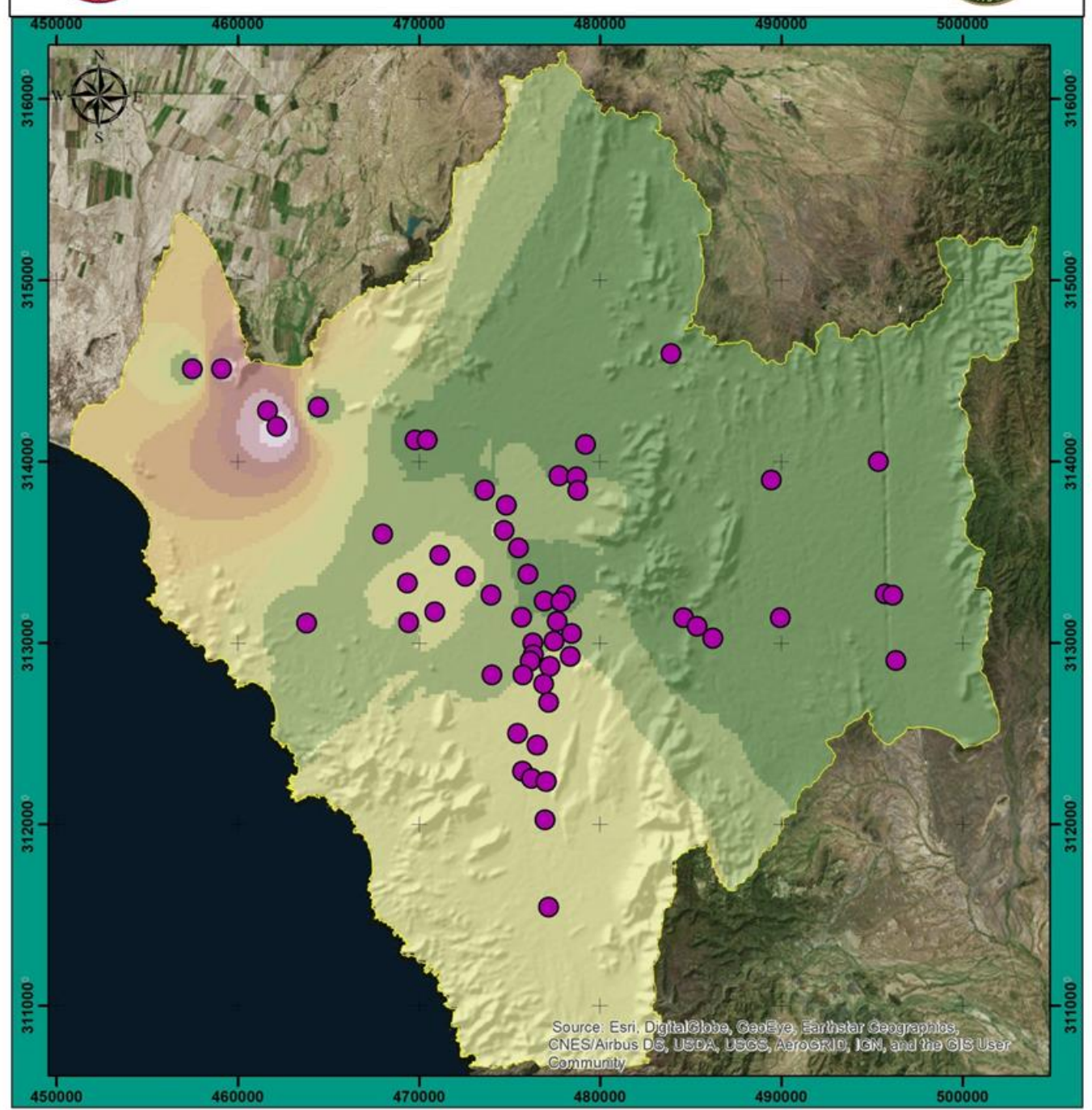
Autores: Cabrera Y., Nuñez D., Gareliz C. Elaboración a partir de: información de INEGI Proyección:Univesal Transversal Mercator Cuadrícula: UTM DATUM: WGS84

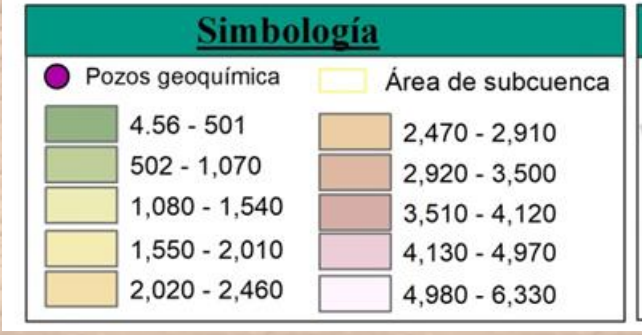




Cloro, El Sahuaral









Datos Generales

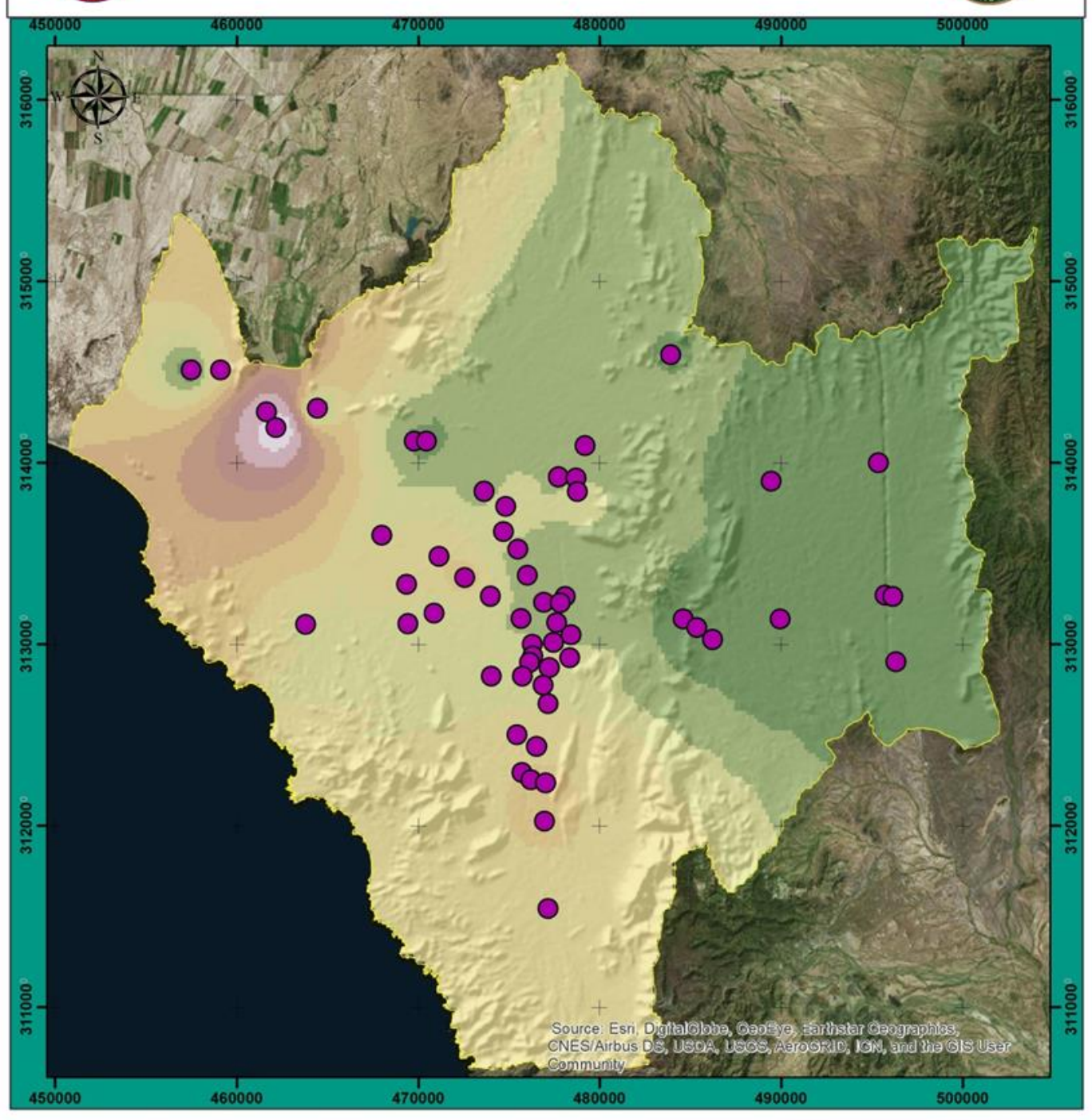
Autores: Cabrera Y., Nuñez D., Gareliz C. Elaboración a partir de: información de INEGI Proyección:Univesal Transversal Mercator Cuadrícula: UTM DATUM: WGS84

| | | | Kilómetros |
|-----------|---|-----|------------|
| 0 1.252.5 | 5 | 7.5 | 10 |



Sodio, Sahuaral









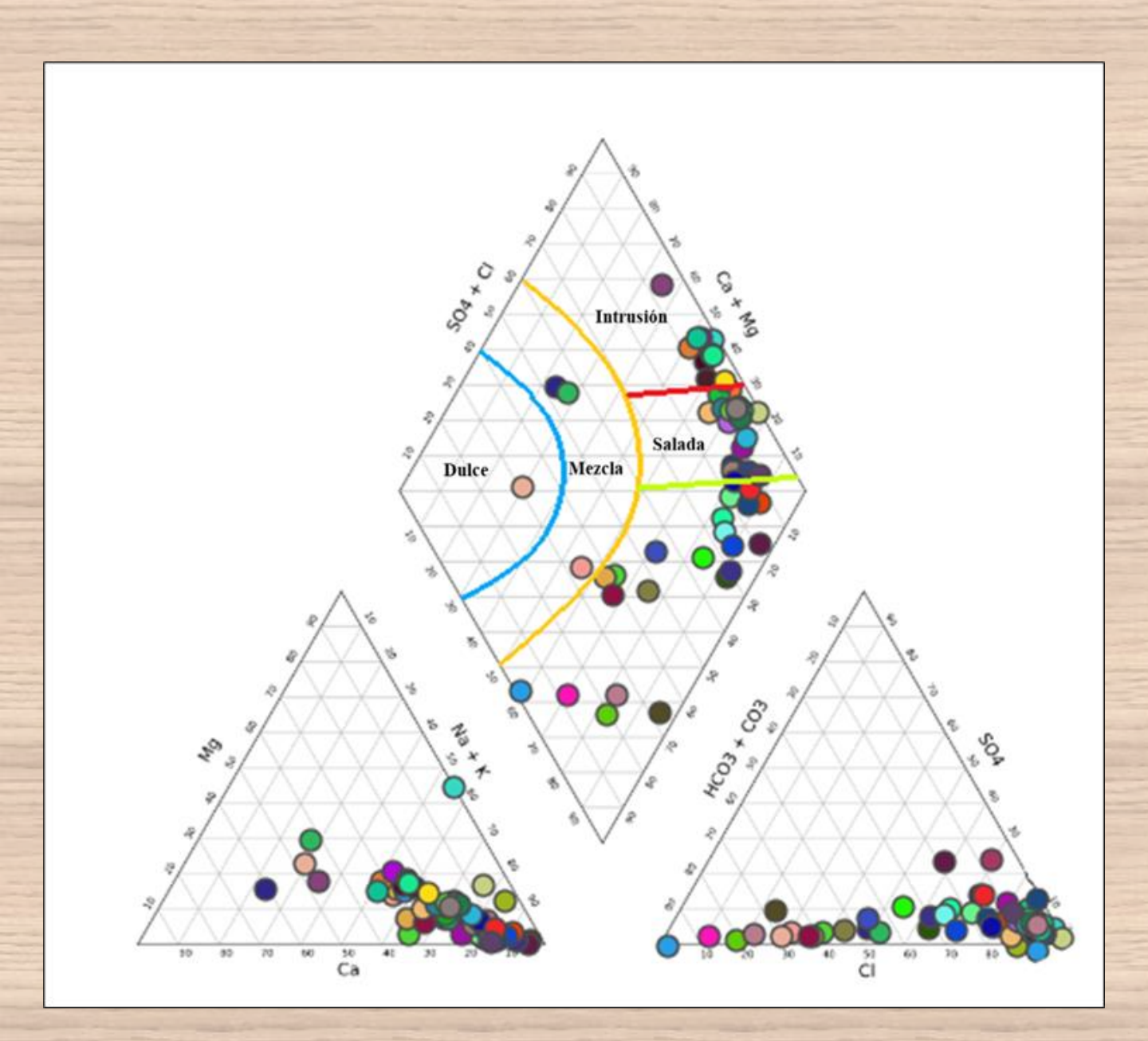
Datos Generales

Autores: Cabrera Y., Nuñez D., Gareliz C. Elaboración a partir de: información de INEGI Proyección:Univesal Transversal Mercator

Proyección:Univesal Transversal Mercator Cuadrícula: UTM DATUM: WGS84

| | | | Kilómetros |
|---------|---|-----|------------|
| 1.252.5 | 5 | 7.5 | 10 |

Con los estudios realizados es posible determinar la intrusión marina en la subcuenca El Sahuaral. El diagrama de Pipper además de ser utilizado para determinar el tipo de agua, también es utilizado para identificar la intrusión salina. En la Figura_, se muestra el diagrama de Pipper con las distribuciones de hidrogeoquímica en los pozos de la subcuenca. En general, las muestras de agua dulce se ubican en el vértice de la izquierda del rombo mientras que el vértice de la derecha se tiene agua marina. El vértice superior está asociado con la intrusión, y el vértice inferior se tiene agua que evoluciona hacia sódica carbonatada.



IX. BIBLIOGRAFÍA

- http://www3.inegi.org.mx/contenidos/app/mexicocifras/datos_geograficos/26/260 29.pdf
- http://mapserver.sgm.gob.mx/Cartas_Online/geologia/19_H12-11_GM.pdf
- http://internet.contenidos.inegi.org.mx/contenidos/productos/prod_serv/contenidos/espanol/bvinegi/productos/historicos/2104/702825221294/702825221294_1.pdf
- https://www.gob.mx/cms/uploads/attachment/file/104332/DR_2636.pdf
- http://www.dof.gob.mx/nota_detalle.php?codigo=2063863&fecha=31/12/1969
- ❖ Taylor, A. (2017). Modelación numérica de flujo y transporte de la región costera del Valle de San José de Guaymas, Sonora, México, utilizando el programa Seawat. México: Universidad de Sonora.
- https://agua.org.mx/que-es/
- file:///C:/Users/Sony/Documents/1810-Presentaci%C3%B3n_Carlos_Rosado.pdf
- https://portal.uah.es/portal/page/portal/GP_EPD/PG-MA-ASIG/PG-ASIG-67044/TAB42351/T10-
 - Aguas%20subterr%E1neas%20y%20medio%20ambiente.pdf
- ❖ Ferre Bauza Ricardo (2016), EVALUACION DE LA VULNERABILIDAD INTRINSICA DEL ACUIFERO SAHUARALPOR EL METODO GODS Y ANALISIS HIDROGEOQUIMICOS, NOROESTE DE MEXICO. Universidad de Sonora.

POR SU ATENCIÓN GRACIAS